

Potenciál viditelnosti a jeho výpočet

Eduard Sojka

katedra informatiky FEL, Vysoká škola báňská
tř. 17.listopadu, 708 33 Ostrava-Poruba

Potenciál viditelnosti poskytuje informaci o každém obrazu scény, který lze získat z libovolně situovaného místa pozorování v prostoru. Na základě podobnosti obrazů lze v prostoru vymezit oblasti tak, že obrazy scény získané z každého bodu zvolené oblasti považuje pozorovatel za podobné nebo za shodné. Při překročení hranice oblasti dojde ke změně, kterou pozorovatel vnímá jako odlišný obraz. Potenciál viditelnosti zachycuje existenci těchto oblastí a vztahů mezi nimi. Potenciál viditelnosti je zajímavý a relativně nový pojem počítačové grafiky. Byl zaveden v souvislosti se zkoumáním mechanismů lidského vidění a jeho uplatnění v počítačové vědě se zdá slibné.

Článek se zabývá výpočtem potenciálu viditelnosti pro 2D a 3D scény. Scény se mohou skládat z libovolného počtu konvexních i konkávních těles ohrazených rovinnými plochami. V článku jsou vysvětleny a definovány potřebné pojmy. Jsou uvedeny teoretické vztahy a vlastnosti použité pro výpočet. Je prezentován algoritmus výpočtu potenciálu viditelnosti. Algoritmus je prakticky implementován pro 2D/2.5D scény. Jsou naznačeny možnosti využití potenciálu viditelnosti v praxi.

visual potential, aspect graph, visibility

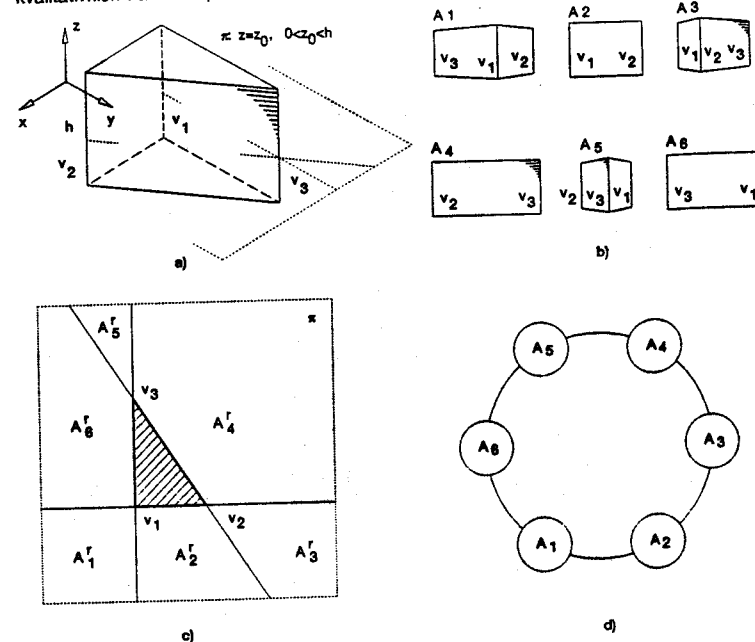
Potenciál viditelnosti zachycuje zkušenosť pozorovatele při sledování scény z různých míst v prostoru. Každé poloze pozorovatele odpovídá jediný obraz scény, který pozorovatel vnímá. Tento obraz je tvořen množinou viditelných ploch, kontur, hran a vrcholů scény a nazýváme jej aspektem. V prostoru existují souvislé oblasti takové, že že obrazy vnímané z bodů jedné oblasti považuje pozorovatel za podobné nebo za shodné. Tyto oblasti nazýváme oblastmi aspektů. Jestliže se pozorovatel v prostoru pohybuje, může dojít k objevení se plochy, kontury, hran nebo vrcholu, které dříve nebyly viditelné. Naopak některé z uvedených útváří mohou být při pohybu skryty. Takovou náhľou změnu výjemu nazýváme vizuální událostí. Existenci aspektů, vizuálních událostí a vztajemných vztahů mezi nimi lze znázornit pomocí grafu - potenciálu viditelnosti.

Uvažujme těleso dle obr.1a. Jedná se o kolmý hranol výšky h s podstavou ve tvaru trojúhelníka, která leží v rovině xy . Sledujeme, jaký bude vjem pozorovatele v závislosti na místu pozorování. Pro jednoduchost předpokládáme, že pozorovatel může vykonávat pouze pohyby v rovině π : $z=z_0$, $0 < \theta < h$. Za uvedených předpokladů zjištějme, že pozorovatel může v závislosti na $z=z_0$ uvidět šest aspektů. Na obr.1b jsou všechny tyto aspekty vyobrazeny a označeny A_1 až A_6 . Pokud nejsou plochy hranolu rozlišeny např. barvou nebo texturou, pak je možné uvedených šesti aspektů rozdělit na základě podobnosti na dvě skupiny: $A_1 = \{A_1, A_3, A_5\}$ a $A_2 = \{A_2, A_4, A_6\}$. Aspekt A_i vnímá pozorovatel, pokud se nachází uvnitř oblasti A_i^r aspektu. Oblasti A_1^r až A_6^r jsou vyznačeny na obr.1c. Při přechodu pozorovatele mezi dvěma oblastmi aspektů dochází k vizuální události - náhlé změně výjemu pozorovatele. Na obr.1d je znázorněn potenciál viditelnosti ve formě grafu. Uzly grafu představují jednotlivé aspekty, hrany pak přechody mezi nimi - tj. možná vizuální události.

Využití potenciálu viditelnosti se zdá přirozené např. při navigaci ve scénách, při rozpoznávání objektů a rekonstrukci popisu objektů na základě znalosti jisté množiny jejich obrazů atd.

Uvedená třída úloh nachází uplatnění např. v robototechnice. K řešení úlohy rozpoznání lze ztejně využít znalosti jisté množiny aspektů rozpoznávaného objektu a grafu potenciálu viditelnosti známých vzorových objektů. Stejných údajů lze využít také pro řešení úlohy navigace ve scéně. Při rekonstrukci popisu objektu lze využít analýzy tvaru a rozměrů oblastí známých aspektů.

Potenciál viditelnosti představuje poměrně nový pojem. Jeho teoretické základy položili Koenderink a van Doorn v pracech [1] až [4], které byly vedeny snahou přispět k objasnění mechanismů lidského vidění. V práci [1] autoři vyšetřují důsledky vzájemného translačního pohybu pozorovatele a rovinové plochy. Zavádějí pojem pohybová paralaxe a vyšetřují její vlastnosti. V [2] je prezentován náčrt teorie diferenciální perspektivy. Autoři zde věnují pozornost studiu invariantních vlastností vnímaných obrazů, protože předpokládají, že tyto vlastnosti hrají úlohu v lidském vidění. Ze stejných důvodů je práce [3] věnována studiu singularit ve vnímaném obraze. Pojem potenciálu viditelnosti a myšlenka jeho uplatnění jako modelu vnímání a vydnocování zrakové informace člověkem je prezentována v [4]. Poukazuje se zde též na možnost použití potenciálu viditelnosti ke klasifikaci tvarové složitosti těles. Vyšetřováním kvalitativních vlastností polí se zabývají Andronov et al. v [5].



Obr.1 Pro těleso ve tvaru trojbokého hranolu (a) vnímá pozorovatel pohybující se v rovině π aspekty A_1 až A_6 (b). Oblasti aspektů jsou A_1^r až A_6^r (c). Aspekty lze uspořádat do grafu (d).

Algoritmizaci výpočtu potenciálu viditelnosti bylo zatím věnováno jen poměrně málo pozornosti. Dosud publikované algoritmy řeší pouze speciální případy. Plantinga a Dyer [6] popisují algoritmus výpočtu potenciálu viditelnosti jednoho mnohostěnu. Algoritmus pro výpočet potenciálu viditelnosti 2.5D objektů publikovali Maripuri a Zeid [7]. Uvedený algoritmus

vyžaduje, aby rovinná oblast reprezentující objekt byla ohraničena jediným polygonem, který je konvexní nebo smí mít maximálně jedinou posloupnost konkávních vrcholů. Algoritmus, který popisujeme v naší práci, žádná podobná omezení nepředpokládá.

Aspekt, oblast aspektu

Uvažujme scénu v E^3 obsahující tělesa ohraničená rovinnými plochami. Tělesa jsou popsána svojí hranicí - jsou známy vrcholy (v), hrany (e) a plochy (f) každého tělesa. V a E jsou množiny všech vrcholů a všech hran těles scény. Z libovolného místa v prostoru vnímá pozorovatel obraz scény, který je tvoren uzly a hrany. Aspektem v bodě p nazveme planární graf $A_p = (V_p, E_p)$, kde V_p je množina uzlů a $E_p \subseteq V_p \times V_p$.

Označme V_p^t množinu těch uzlů, kde uzel obrazu odpovídá jistému vrcholu scény - tj. existuje zobrazení: $V_p^t \rightarrow V$. Uzly z této množiny nazýváme t -uzly. Dále označme V_p^t množinu těch uzlů, které vznikly jako průsečky obrazů dvou hran scény. Každý takový průseček má tvar písmene T a mění se v něm viditelnost vzdálenější hrany. $V_p^t \rightarrow E \times E$ je zobrazení přiřazující uzlu obrazu odpovídající hraně scény. Uzly z množiny V_p^t nazýváme t -uzly. Množina všech uzlů obrazu je $V_p = V_p \cup V_p^t$.

Pro identifikaci aspektu zavedeme množinu $A_p^0 \subseteq (V \cup (E \times E))$. A_p^0 zahrnuje všechny vrcholy scény, které jsou z daného místa viditelné a všechny dvojice (e_i, e_j) hran scény takové, že v obraze vnímaném pozorovatelem existuje průsečík $e_i - e_j$.

Dále zavedeme relaci ekvivalence aspektů. Uvažujme aspekty v bodech p a q. Pro potřeby výpočtu potenciálu viditelnosti považujeme aspekty za ekvivalentní, právě když jsou si rovny množiny $A_p^0, A_q^0: A_p = A_q \Leftrightarrow A_p^0 = A_q^0$. Při listých pohybech pozorovatele v prostoru se pozorovaný vjem ve smyslu uvedené definice ekvivalence aspektů nemění. Souvislou množinu bodů v prostoru, kterým odpovídají ekvivalentní aspekty, nazýváme oblastí aspektu a označujeme A^r . $A^r = \{x \in E^3: A_x = \text{const.}\}$

Poznámka: Nebude-li v dalším textu nutné vyslověně zdůrazňovat, že se aspekt vztahuje k jistému konkrétnímu bodu, pak subskript vynecháme a použijeme značení A, V^t, V^t, A^0 .

Vizuální událost

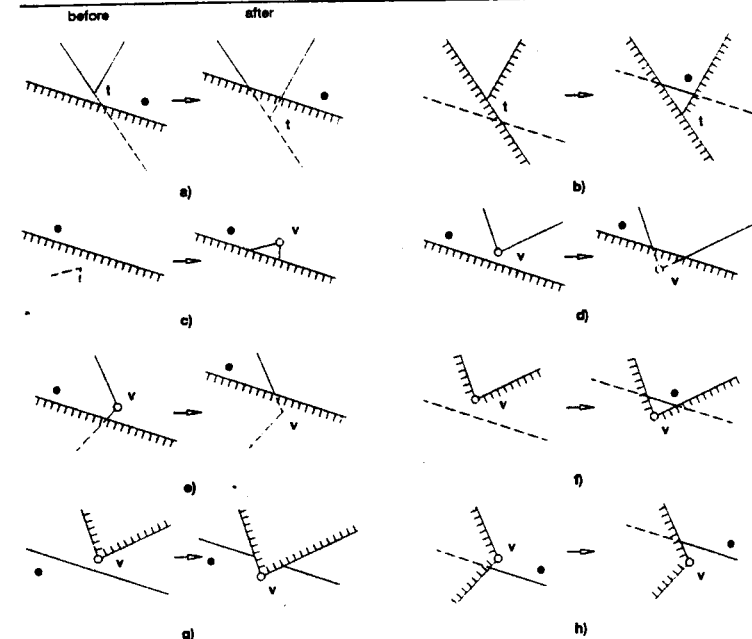
Uvažujme body p a q a jím odpovídající aspekty A_p a A_q . Vizuální události nazveme takovou změnu aspektu $A_p \rightarrow A_q$, kdy $A_p^0 \neq A_q^0$. Body p a q lze při tom zvolit tak, že vzdáenosť $d(p,q) \rightarrow 0$. Vizuální událost tedy představuje náhľou změnu, kdy se ve vnímaném obraze (aspektu) objevují nové uzly a hrany nebo mizí uzly a hrany dříve existující. Pro množiny A_p^0 a A_q^0 platí:

$$A_q^0 = A_p^0 \cup A_{pq}^0 - A_{qp}^0 \quad (1)$$

$$A_p^0 = A_q^0 \cup A_{qp}^0 - A_{pq}^0$$

Množina A_{pq}^0 obsahuje vrchol nebo dvojice hran. Při přechodu pozorovatele z bodu p do bodu q se objeví obraz vrcholu nebo průsečík obrazů dvojice hran obsažené v A_{pq}^0 . Množina A_{qp}^0 je vytvořena analogicky, avšak pro pohyb z bodu q do bodu p.

S ohledem na klasifikaci uzlů aspektu na t-uzly a v-uzly lze hovořit též o t a v-vizuální události. K t-vizuální události dochází interakce t-uzlu a hrany aspektu. Podobně interakce v-uzlu a hrany aspektu dochází k v-vizuální události. Podrobnější rozbor je proveden na obr.2.



Obr.2 V obraze lze rozlišit dva typy vizuálních událostí: K t-události dochází interakci t-uzlu a hrany aspektu: Skrytí t-uzlu (a). Objevení se hrany (b). K v-události dochází interakci v-uzlu a hrany aspektu: Objevení se/vskrytí vrcholu (c), (d), (e). Objevení se hrany (f). Rozštěpení hrany (g). Přechod hrany (h).

Oblast vizuální události

Oblasti vizuální události nazýváme oblast $U^r \subseteq E^3$. Protější trajektorie místa pozorování uvedenou oblast, pak v obraze vnímaném pozorovatelem dojde k odpovídající vizuální události (rovnice 1). Oblasti vizuálních událostí jsou tvoreny přímkovými plochami. Segmenty oblasti vizuálních událostí vytvářejí hranice mezi oblastmi aspektů.

Předpokládejme nejprve, že plocha, na které leží oblast vizuální události, neobsahuje vnitřní body žádného tělesa scény - smí obsahovat pouze body náležející hranicím těles. Oblast vizuální události určenou za tohoto předpokladu označme U^r_0 .

Pro t-událost je oblast U^r_0 tvorena přímkovou plochou, která je definována třemi různými hranami v_iv_j, v_kv_l, v_mv_n scény (obr.3a) v obecné poloze. Plochu lze popsat rovnici:

$$x(u,w) = x_m(u) + w r(u) \quad (2)$$

$$\text{kde } x_m(u) = v_m + u q_{mn}, \quad q_{mn} = v_n - v_m \\ r(u) = x_m(u) - x_i(u)$$

z podmínky $(x_k - x_i) = \lambda (x_m - x_i), \lambda \in R$ získáme:

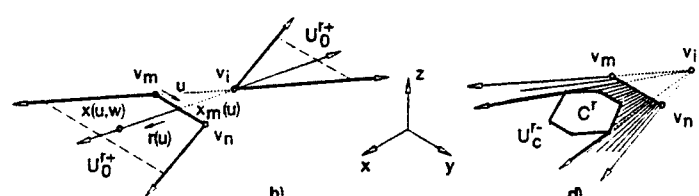
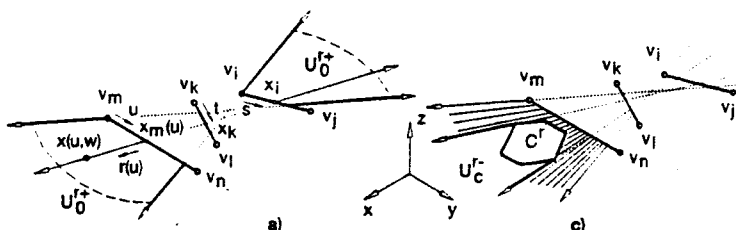
$$t = \frac{(q_{ij}q_{kl}q_{mi}) - u(q_{ij}q_{kl}q_{mn})}{(q_{ij}q_{kl}q_{mi}) - u(q_{ij}q_{kl}q_{mn})} \quad (3)$$

$$s = \frac{(q_{kl}q_{mi}) - u(q_{kl}q_{mn})}{(q_{ij}q_{kl}q_{ki}) - (q_{ij}q_{kl}q_{ni}) + u(q_{ij}q_{kl}q_{mn})} \quad (4)$$

$$r(u) = q_{im} + u q_{mn} - s(u) q_{ij} \quad (5)$$

kde t a s mají význam dle obr.3a. $q_{ij} = v_j - v_i$, $(q_{ij}q_{kl}q_{mn})$ je smíšený součin vektorů q_{ij} , q_{kl} a q_{mn} . Podobně po záměně indexů. Oblast U^{+}_0 musí vyhovovat podmínce:

$$0 \leq t \leq 1, 0 \leq s \leq 1, 0 \leq r \leq 1, (w \geq 0) \vee (ws \leq 1) \quad (6)$$



Obr.3 Oblast U^{+}_0 pro t-vizuální událost (a) a v-vizuální událost (b). Oblast U^{-}_c pro t-vizuální událost (c) a v-vizuální událost (d).

V-událost lze považovat za speciální případ t-události, kdy se hrany v_iv_j a v_kv_l (obr.3a) protínají. Určení oblasti U^{+}_0 je zde jednodušší. Jedná se o rovinou oblast (obr.3b) popsanou rovnicí:

$$x(u,w) = v_i + w q_{im} + u w q_{mn} \quad (7)$$

kde $q_{im} = v_m - v_i$, $q_{mn} = v_n - v_m$. $0 \leq u \leq 1, (w \geq 0) \vee (ws \leq 1)$ (8)

Uvažme nyní dálé také situaci, kdy oblast U^{+}_0 obsahuje vnitřní body tělesa scény. Označme C^r oblast řezu tělesa scény plochou U^{+}_0 . Na ploše U^{+}_0 lze rozlišit oblasti U^{+}_c a U^{-}_c . Z bodů oblasti U^{-}_c nelze využívanou vizuální událost pozorovat, protože místo jejího vzniku je skryto těleso scény. Protináklí trajektorie bodu pozorování oblast U^{-}_c , nedochází proto k vizuální události. Výslednou oblast U^{+} vizuální události, lze pak stanovit jako rozdíl

$$U^{+} = U^{+}_0 - U^{-}_c \quad (9)$$

Pro t i v-vizuální událost jsou tvary oblasti U^{-}_c naznačeny na obr.3c, 3d. Hranice oblasti U^{-}_c jsou tvořeny částmi hranice oblasti řezu C^r a částmi těch přímek plochy U^{+}_0 , které procházejí vrcholy oblasti C^r . Sestavení oblasti U^{+} lze řešit jako dvourozměrnou úlohu na ploše U^{+}_0 . Řešení dvourozměrné úlohy bude podrobněji diskutováno později.

V_i, e_j plocha

Všechny možné oblasti v-vizuální události sestrojené pro jistý vrchol v_i tělesa vytvářejí spolu s plochami tělesa scény plochu v E^3 , kterou nazýváme V_i -plochou. V_i -plocha rozděluje prostor na oblasti V^{+}_i , V^{-}_i . Z každého bodu uvnitř oblasti V^{+}_i lze pozorovat vrchol v_i . Ze žádného bodu uvnitř oblasti V^{-}_i vrchol v_i pozorovat nelze. Pro tělesa ohrazená rovinami plochami má V_i -plocha tvar mnohostěnu s rovinami stěnami. Některé body V_i -plochy mohou ležet v nekonečnu.

Podobně všechny možné oblasti t-vizuální události sestrojené pro jistou dvojici hran e_i, e_j vytvářejí spolu s plochami tělesa scény a spolu s oblastmi v-událostí sestrojenými pro každý z koncových bodů hran e_i, e_j a zbyvající hranu plochu v E^3 , kterou nazýváme e_i, e_j -plochou. e_i, e_j -plocha rozděluje prostor na oblasti E^{+}_{ij} a E^{-}_{ij} . Z každého bodu uvnitř oblasti E^{+}_{ij} lze pozorovat průsečík obrazů hran e_i, e_j . Ze žádného bodu uvnitř oblasti E^{-}_{ij} průsečík obrazů hran e_i, e_j pozorovat nelze. e_i, e_j -plocha má tvar mnohostěnu, jehož stěny jsou tvořeny přímkovými plochami. Některé body e_i, e_j -plochy mohou ležet v nekonečnu.

Určení oblastí aspektů v trojrozměrné úloze

S využitím dosud uvedených závěrů je již možné zkonstruovat algoritmus určující oblasti aspektů. Algoritmus pracuje takto:

- Generuj systematicky všechny dvojice vrchol-hrana a trojice hran pro zadanou scénu.
- Pro každou uvedenou dvojici nebo trojici urči oblast U^{+}_0 . Zjisti, zda U^{+}_0 protíná tělesa scény. Urči oblast řezu C^r a hranice oblasti U^{-}_c . Sestav výslednou oblast U^{+} vizuální události.
- Nalezní oblasti aspektů jako všechny nejmenší souvislé konvexní oblasti vzniklé dělením E^3 oblastmi vizuálních událostí a plochami tělesa scény.

Tvoří-li scénu jediné konvexní těleso, pak lze algoritmus podstatně zjednodušit. Stačí vyšetřovat pouze dvojice vrchol-hrana takové, že hrana i vrchol náleží též ploše tělesa. Tvrzení vyplývá ze vztahu (9). S výjimkou uvedeného případu je totiž pro konvexní těleso $U^{+}_0 = U^{-}_c$, takže $U^{+} = 0$. Náleží-li vrchol a hrana též ploše konvexního tělesa, pak dále $C^r = 0$ a $U^{+} = U^{+}_0$.

Aspekt a vizuální událost v dvourozměrné úloze

Uvažujme scénu tvořenou množinou disjunktních souvislých polygonálních oblastí v E^2 . Každá oblast je popisána poligonom, který ji ohraňuje. Množina všech vrcholů scény je V . Pohyby pozorovatele jsou možné pouze v rovině scény. Pojmy vyslovené pro scény v E^3 zde lze odpovídajícím způsobem zjednodušit.

Aspektem rovinné scény je planární graf $A_p = (V_p, E_p)$. Každý uzel grafu je obrazem některého vrcholu scény - tj. existuje zobrazení $V_p \rightarrow V$. Množina $A_p^0 \subseteq V$ obsahuje ty vrcholy scény, které lze pozorovat z bodu p . Předpokládáme existenci pouze v-vizuálních událostí. V-vizuální událost pozorovatel vlnímá jako objevený se nebo změnění obrazu vrcholu v_i za obrazem vrcholu v_j ($v_i \rightarrow v_j$ událost). Oblasti vizuálních událostí mají tvar polopřímky nebo úsečky. V_i -plochy jsou polygony

(v_j -křivky). Oblasti V_i^+ a V_i^- jsou polygonální oblasti.

Řešení dvourozměrné úlohy lze využít také pro 2.5D scény. Předpokládáme, že 2.5D scéna je tvorena kolmými hranami výšky h_k se základnou v tvaru polygonální oblasti v rovině $z=z_k$.

Počet hranolů je n . Jestliže se pozorovatel pohybuje v rovině $z=z_0$, $\max(z_1, \dots, z_n) < z_0 < \min(z_1+h_1, \dots, z_n+h_n)$, pak lze problém řešit jako dvourozměrnou úlohu.

Určení oblasti vizuální události ve dvourozměrné úloze

Uvažujeme přímku v_iv_j , která je určena vrcholy $v_i, v_j \in V$. Přímka má rovnici:

$$x(t) = v_i + t q_{ij}, \quad \text{kde } q_{ij} = v_j - v_i, \quad t \in R \quad (10)$$

Úsečka v_iv_j je hranou oblasti reprezentující objekt scény. Pro body na úsečce v_iv_j platí $0 \leq t \leq 1$. Definujme polopřímku l_{ij} jako část přímky v_iv_j , pro kterou $t \geq 1$. Podobně pro polopřímku l_{ji} $t \leq 0$. Lze vyslovit následující tvrzení:

1. Oblast v_i-v_j vizuální události je tvořena polopřímkou l_{ij} nebo její částí.

Tvrzení 1 je ilustrováno na obr.4a, kde je znázorněna scéna obsahující oblast ve tvaru trojúhelníka. Uvedeném příkladě lze pozorovat 6 aspektů s oblastmi A'_1 až A'_6 . Oblasti vizuálních událostí jsou tvořeny polopřímkami l_{ij} , které byly získány systematickým generováním spojnic v_iv_j . Např. oblast v_1-v_3 vizuální události je polopřímka l_{13} s počátkem v bodě v_3 . Oblasti aspektů jsou ohrazeny polygony, které se skládají z oblasti vizuálních událostí a hran objektu scény. Některé hrany polygonu mohou ležet v nekonečnu.

2. Leží-li libovolný vnitřní bod x ušetřky v_iv_j ($0 < t_x < 1$) uvnitř oblasti reprezentující některý objekt scény, pak žádná část přímky v_iv_j netvoří oblast vizuální události.

Na obr.4b je znázorněn objekt ve tvaru čtverce. Polopřímka l_{13} není oblasti v_1-v_3 vizuální události, protože v_1-v_3 leží uvnitř tělesa. Vrchol v_1 nelze pozorovat z bodu r ani z bodu l . Při přechodu pozorovatele přes polopřímku l_{13} nedochází k vizuální události. Obdobně pro polopřímky l_{31}, l_{24}, l_{42} .

3. Nechť x_k jsou průsečky polopřímky v_iv_j s hranicemi oblasti reprezentující objekt scény takové, že poloha bodu x_k na polopřímce v_iv_j je $t_{xk} > 1$. x_m je bod, pro který $t_{xm} = \min(t_{x1}, \dots, t_{xn})$. Pak ušetřka v_iv_j je oblasti v_i-v_j vizuální události.

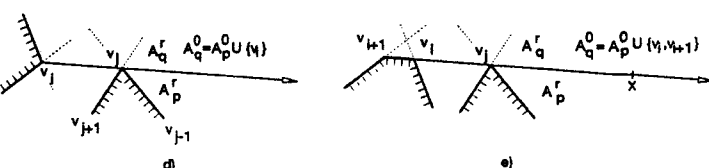
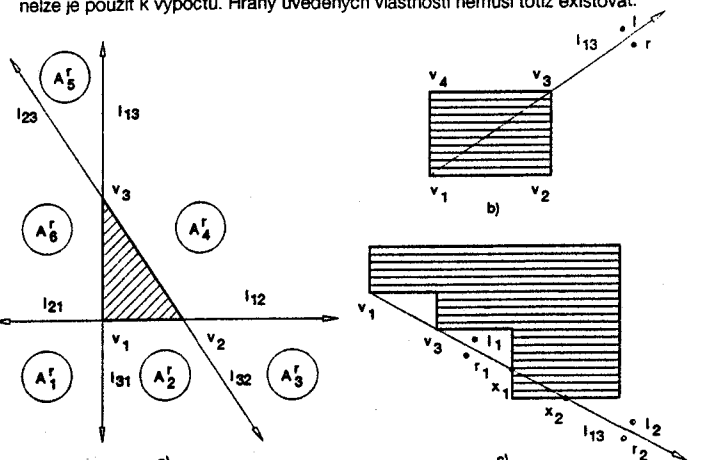
Počet oblast na obr.4c určuje spojnice v_1v_3 polopřímku l_{13} . Oblasti v_1-v_3 vizuální události je však pouze ušetřka $v_3x_1 \subset l_{13}$. Při přechodu pozorovatele mezi body r_1, l_1 dochází k vizuální události; při přechodu mezi body r_2, l_2 k vizuální události nedochází. Oblast v_i-v_j vizuální události je tvořena pouze částí polopřímky l_{ij} od vrcholu v_j po nejbližší průsečík s oblastí reprezentující scénu.

4. Nechť v_j je konkávní vrchol oblasti reprezentující objekt scény, pak žádná polopřímka l_{ij} ani její část není oblasti v_i-v_j vizuální události. Některé body spojnice v_iv_j totiž budou ležet uvnitř tělesa (viz.T.2) a nebo l_{ij} vstupuje do tělesa bezprostředně v bodě v_j (viz.T.3).

5. Průsečky oblasti libovolné vizuální události s oblastmi zbyvajících vizuálních událostí dané scény dělí oblast vizuální události na segmenty. Každý segment oblasti vizuální události je součástí hranice právě dvou oblastí aspektů. Podobně je oblasti vizuálních událostí na segmenty dělena také každá hraná scény. Každý segment hrany je součástí hranice právě jediné oblasti aspektu. Oblasti aspektů jsou konvexní polygonální oblasti.

6. Nechť A_p a A_q jsou aspekty. Oblasti A_p^r a A_q^r obou aspektů sdílí společný segment oblasti v_i-v_j vizuální události tak, že oblast A_q^r leží na levu a oblast A_p^r na pravo od přímky v_iv_j (obr.4d). Pak $A_q^0 = A_p^0 \cup \{v_i\}$ a $A_p^0 = A_q^0 - \{v_i\}$, když $(q_{ij} \times q_{ij-1}) \geq 0 \wedge (q_{ij+1} \times q_{ij}) \geq 0$, nebo $A_q^0 = A_p^0 - \{v_i\}$ a $A_p^0 = A_q^0 \cup \{v_i\}$, když $(q_{ij} \times q_{ij-1}) \leq 0 \wedge (q_{ij+1} \times q_{ij}) \leq 0$. Při tom $q_{ij} =$

- $v_j - v_i$, $q_{ij-1} = v_j - v_{j-1}$, $q_{ij+1} = v_{j+1} - v_j$ jsou vektory hran odpovídající oblasti scény.
7. Obsahuje-li scéna $n>2$ vrcholů ležících v přímce, pak se oblasti aspektů mohou překrývat. Na obr.4e prochází bodem x 3 oblasti vizuální události: $v_i-v_j, v_{i+1}-v_j, v_i-v_{j+1}$.
 8. Nechť hrana $v_r v_{r+1}$ některé oblasti scény je součástí konvexního obalu scény. Pak $v_r v_{r+1}$ je součástí hranice oblasti aspektu, pro který platí $A^0 = \{v_r, v_{r+1}\}$. Uvedené tvrzení lze dále zobecnit: Nechť $v_r v_{r+s}$ je hranou konvexního obalu scény a vrcholy v_i $r < i < r+s$ jsou konkávní vrcholy některé oblasti scény. Pak posloupnost hran $v_r v_{r+1}, \dots, v_{r+s-1} v_{r+s}$ je součástí oblasti aspektu, pro který $A^0 = \{v_r, v_{r+1}, \dots, v_{r+s}\}$. Tvrzení má bohužel pouze ilustrativní charakter, neleží je použit k vypočtu. Hrany uvedených vlastností nemusí totiž existovat.



Obr.4 Polopřímky l_{ij} jsou oblasti v_i-v_j vizuální události (a). Prochází-li ušetřka v_iv_j oblasti reprezentující objekt scény, pak žádná část l_{ij} není oblasti vizuální události (b). Polopřímka l_{ij} je oblasti vizuální události pouze pro nejbližší průsečík s oblastí reprezentující objekt scény (c). $A_p^0 = A_q^0 \cup \{v_i\}$ lze stanovit pomocí vztahu $A_p^0 = A_q^0 \cup \{v_i\}$ (d). Oblasti v_i-v_j události se mohou překrývat (e).

Algoritmus výpočtu oblastí aspektů dvourozměrné scény

Vstupem algoritmu je množina polygonů v E^2 , které reprezentují objekty scény. Výstupem je množina polygonů, které reprezentují oblasti aspektů, případně také množina A^0 viditelných vrcholů pro každý aspekt. Výpočet probíhá tak, že se nejprve vytvoří seznam všech možných oblastí v_i-v_j vizuálních událostí. Oblasti aspektů se pak určí jako nejmenší souvislé konvexní

oblasti vzniklé dělením E^2 oblastmi vizuálních událostí a hranami objektů scény. Algoritmus pracuje takto:

- Generuj systematicky všechny přímky vij jako spojnice vrcholů $v_i, v_j: v_i, v_j \in V, 2 \leq i, j \leq |V|$, j.e.
 - Pro každou přímku vij projdi všechny objekty scény. Pro každý objekt vypočítej průsečíky přímky s hranicí objektu a vyšetři vzájemnou polohu přímky a objektu. Mohou nastat tyto případy:
 - Polopřímka vij vyšetřovaný objekt neprotíná: V tomto případě se polopřímka vij může v intervalu $t_2 < t_1$ stát oblastí $v_j - v_i$ vizuální události. Je však možné, že tento interval bude v následujících krocích zúžen při zpracování dalších objektů.
 - Analогicky lze současně vyšetřovat také polopřímku vji .
 - Polopřímka vij protíná vyšetřovaný objekt. Existuje alespoň jeden průsečík x tak, že $0 < t_x < 1$: V tomto případě žádná část polopřímky vij ani polopřímky vji nemůže být oblastí $v_j - v_i$ ani $v_i - v_j$ vizuální události. Další zpracování přímky vij není potřebné.
 - Polopřímka vij protíná vyšetřovaný objekt. Bod x je průsečík s minimální souřadnicí t na polopřímce vij . Při tom $t_x > 1$: V tomto případě se polopřímka vij může v intervalu $1 \leq t_x \leq t_1$ stát oblastí $v_j - v_i$ vizuální události. Je však možné, že tento interval bude v následujících krocích zúžen při zpracování dalších objektů.
 - Analогicky lze současně vyšetřovat také polopřímku vji .

Proces zpracování přímky vij je ukončen zpracováním všech objektů a určením oblastí vizuálních událostí ležících na přímce nebo zjištěním, že žádná část přímky nemůže být oblastí vizuální události. Zjištěné oblasti (jedná se o úsečky nebo polopřímky) jsou zařazeny do seznamu oblastí vizuálních událostí.

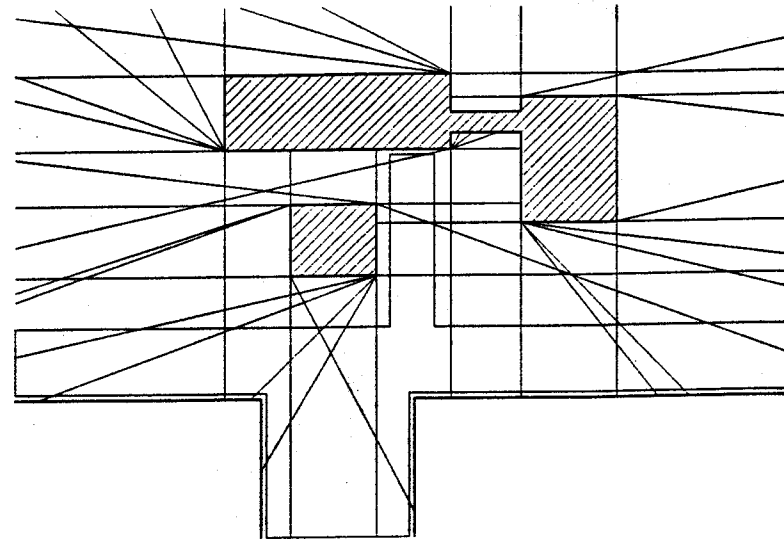
- Pro každou oblast ze seznamu oblastí vizuálních událostí vypočítej průsečíky se všemi ostatními oblastmi seznamu. Průsečíky seřaď podle souřadnice t na vyšetřované oblasti. Průsečíky rozděl vyšetřovanou oblast na segmenty. Zjištěné segmenty zařaď do seznamu segmentů. Podobně urči segmenty také pro každou hranu objektu scény.
- Ze seznamu segmentů vyber libovolný segment. Dále vybírej navazující segmenty (včetně těch, které s vybraným segmentem splývají) tak dlouho, dokud nevytvoří uzavřený konvexní polygon. Polygon ohraňuje oblast aspektu. Je-li seznam segmentů neprázdný, pokračuj sestavením dalšího polygonu.

Má-li algoritmus současně pro každý aspekt sestavit také množinu A^0 viditelných vrcholů scény, pak se poslední krok algoritmu modifikuje takto: Pro první sestavenou oblast aspektu urči množinu viditelných vrcholů A^0_0 . K tomu použij libovolnou metodu - například metodou paprsků vedených z vnitřního bodu oblasti A^0_0 do všech vrcholů scény. Po sestavení hranice některého aspektu dále postupně sestavuj hranice aspektů sousedících. Množinu viditelných vrcholů při tom určuj podle vztahu $A^0_j = A^0_i \cup \{v_k\}$ nebo $A^0_j = A^0_i - \{v_k\}$.

Implementace, příklad výpočtu

Popsaný algoritmus byl prakticky implementován v jazyce C++ na personálním počítači. Použití potenciálu viditelnosti se zdá slibné například při řešení problémů počítačového vidění. Jenu z možných aplikací v tomto směru uvádí např. Maripuri a Zeid [7]. Zde jsme zvolili jiný příklad: Využití potenciálu viditelnosti k hodnocení estetického účinku exteriéru architektonicky náročných staveb. Tělesa scény představují hlavní hmoty navrhované stavby, aspekty odpovídají pohledům, které může pozorovatel vnímat z míst vymezených oblastmi aspektů. Na základě znalosti oblastí aspektů lze zcela systematicky prověřit mnoho pohledů na zamýšlené

dílo. Jednotlivým pohledům lze také přisuzovat různou váhu v závislosti na na velikostech oblastí aspektů a v závislosti na tom, jaké množství pozorovatelů lze v jednotlivých oblastech očekávat. Na obr.5 je zázorněna scéna představující architektonicky náročnou stavbu. Vyšrafováné oblasti představují navrhované budovy, nevyšrafováné plochy jsou budovy dříve existující. Jsou zde vyznačeny oblasti aspektů - tj. místa odkud pozorovatel vnímá různé pohledy. Vytěkované plochy představují místa s vysokým výskytem pozorovatelů - incidujícím aspektům je třeba věnovat zvýšenou pozornost.



Obr.5 Využití oblastí aspektů k prověření estetického účinku architektonického díla. Existující zástavba je vyznačena plně, navrhované budovy jsou vyšrafovány, oblasti aspektů jsou vyznačeny tence. Místa s vysokým výskytem pozorovatelů jsou vyznačena tečkovánem - odpovídající aspekty (pohledy) je vhodné systematicky prověřit.

Závěry

Článek se zabývá výpočtem potenciálu viditelnosti pro 2D a 3D scény. Nejprve je diskutována 3D úloha. Scény se mohou skládat z libovolného počtu konvexních i konkávních těles ohrazených rovinami plochami. V článku je vysvětlen pojem potenciálu viditelnosti a je upřesněn pojem aspektu pro uvedenou řídu scén. Jsou uvažovány dva typy vizuálních událostí, které jsou nazvány t a v-vizuální událost. Je zaveden pojem oblast vizuální události a je prezentována metoda jejího určení. Je načrtnut algoritmus výpočtu oblastí aspektů pro 3D scény. Pro 2D scény jsou dříve vysvětlen pojem a závěry odpovídajícím způsobem zjednodušeny. Jsou shrnutý principy využité pro řešení 2D úlohy. Je popsán algoritmus výpočtu oblastí aspektů a množin viditelných vrcholů pro 2D scény. Scéna se může skládat z libovolného počtu polygonů. Každý polygon může být konvexní nebo konkávní s libovolným počtem posloupnosti konkávních vrcholů. Algoritmus byl prakticky implementován v C++ na

Literatura:

- [1] Koenderink,J.J. - van Doorn,A.J.: Local structure of movement parallax of the plane. J.Opt.Soc.Am. 66 (1976) No 7 pp 717-723
- [2] Koenderink,J.J. - van Doorn,A.J.: Invariant properties of the motion parallax field due to the movement of rigid bodies relative to an observer. Optica Acta 22 (1975) No 9 pp 773-291
- [3] Koenderink,J.J. - van Doorn,A.J.: The singularities of the visual mapping. Biological Cybernetics 24 (1976) pp 51-59
- [4] Koenderink,J.J. - van Doorn,A.J.: The Internal Representation of Solid Shape with Respect to Vision. Biological Cybernetics 32 (1979) pp 211-216
- [5] Andronov,A.A. - Leontovich,E.A. - Gordon,I.I. - Maier,A.G.: Qualitative theory of second-order dynamic systems. New York: J.Wiley Sons 1973
- [6] Plantinga, W.H. - Dyer, C.R.: An algorithm for constructing the aspect graph. Proc. IEEE 27th Symp. on Foundations of Comput. Sci. (1986) pp 123-131
- [7] Maripuri,S.R. - Zeid,I.: Generating aspect graphs for nonconvex polyhedra. Computer-Aided Design 22 (1990) No 5 pp 258-264
- [8] Preparata,F.P. - Shamos,M.I.: Computational Geometry - an introduction. New York, Berlin, Heidelberg, Tokyo: Springer-Verlag 1985

Ray tracing volume data with subvoxel precision

Miloš Šrámek

Institute of Measurement Science

Slovak Academy of Sciences,

Dúbravská cesta 9, 842 19 Bratislava, ČSFR

Volume visualization (VV), represents a wide plethora of methodologies aimed at processing of 3D scalar data, with a common goal to give a 2D presentation of desired data feature. It can be traced back to late seventies, when the first attempts to render 3D tomographic data on 2D screen came true. Since then, VV has widespread to such diverse branches as seismic measurements, meteorology, molecular structure analysis, confocal microscopy, CAD and astrophysical simulation are. However, due to wide exploration of various 3D medical imaging technologies (CT, MRI, PET ...), medicine still remains the VV basic domain.

Recently, an important task of quality and visual acceptability of rendered images is going to foreground. Since a distinguishing ability of the input data is usually limited by the scanning device, the only way how to e.g. display small details of an object of interest in acceptable visual quality is to interpolate the input data.

In the contribution, a subvoxel precision volume visualization system based on ray tracing algorithm is presented. A trilinear interpolation scheme was chosen to find an exact surface-ray intersection points due to its computational simplicity and relatively low temporal demands. An effect of this approach is demonstrated by comparison of pairs of images, rendered either by standard and subvoxel precision approach.